Сессия научного совета РАН по акустике 18 сентября, 2025 г.



Шум взаимодействия струи и крыла самолета

Бычков О.П., Фараносов Г.А.

ФАУ «ЦАГИ», Москва, Россия



Сессия научного совета РАН по акустике, 18 сентября, 2025 г.



План доклада

- Введение
- Теоретическое описание
- Экспериментальное исследование (валидация)
- Возможности управления
- Заключение



Сессия научного совета РАН по акустике, 18 сентября, 2025 г.



План доклада

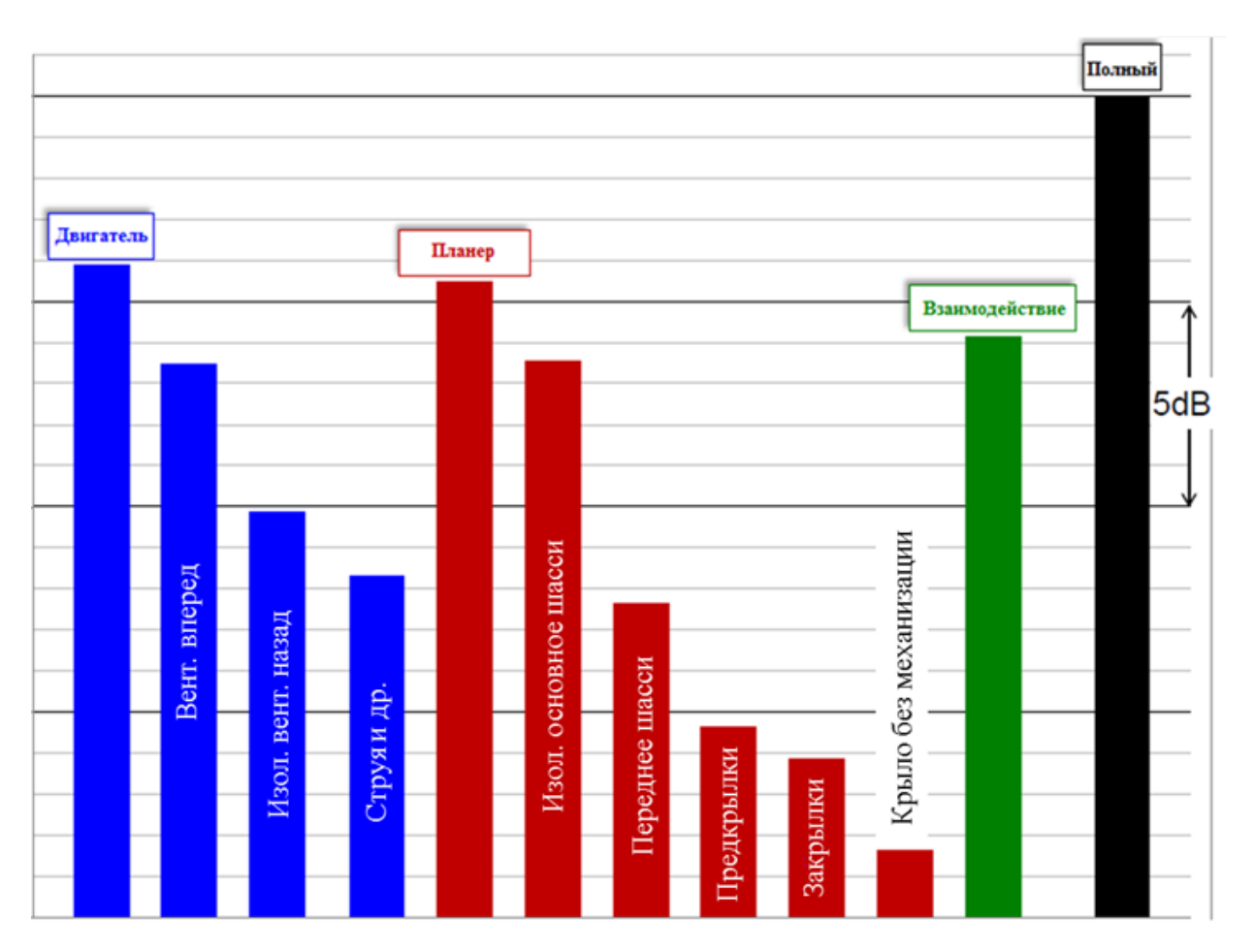
- Введение
- Теоретическое описание
- Экспериментальное исследование (валидация)
- Возможности управления
- Заключение



Сессия научного совета РАН по акустике, 18 сентября, 2025 г.



Актуальность





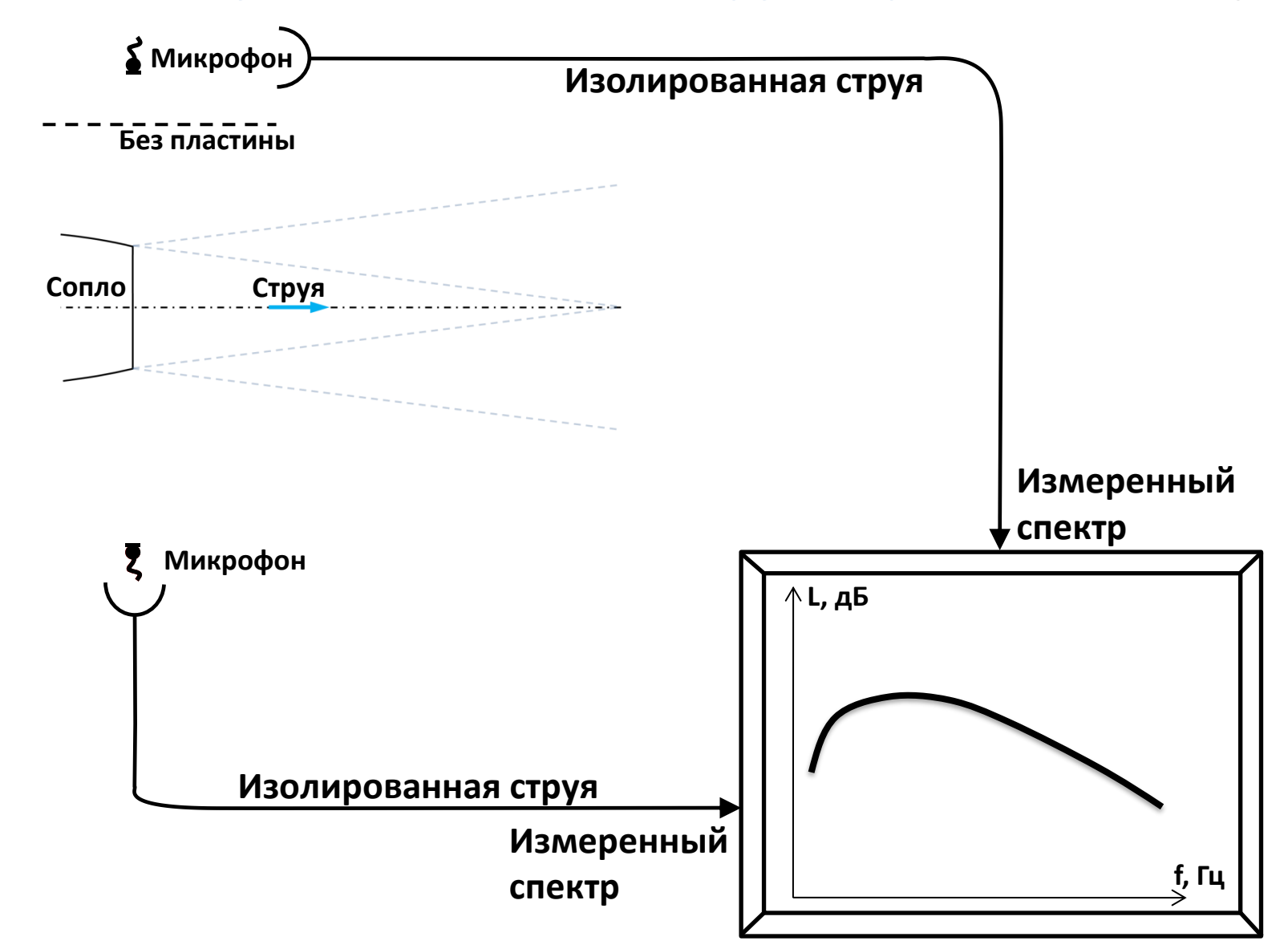
http://ceaa.imamod.ru/2016/files/ceaa2016.pdfs/D3S01_Delfs.pdf



Сессия научного совета РАН по акустике, 18 сентября, 2025 г.



Что есть шум взаимодействия струи и крыла? Демонстрация.

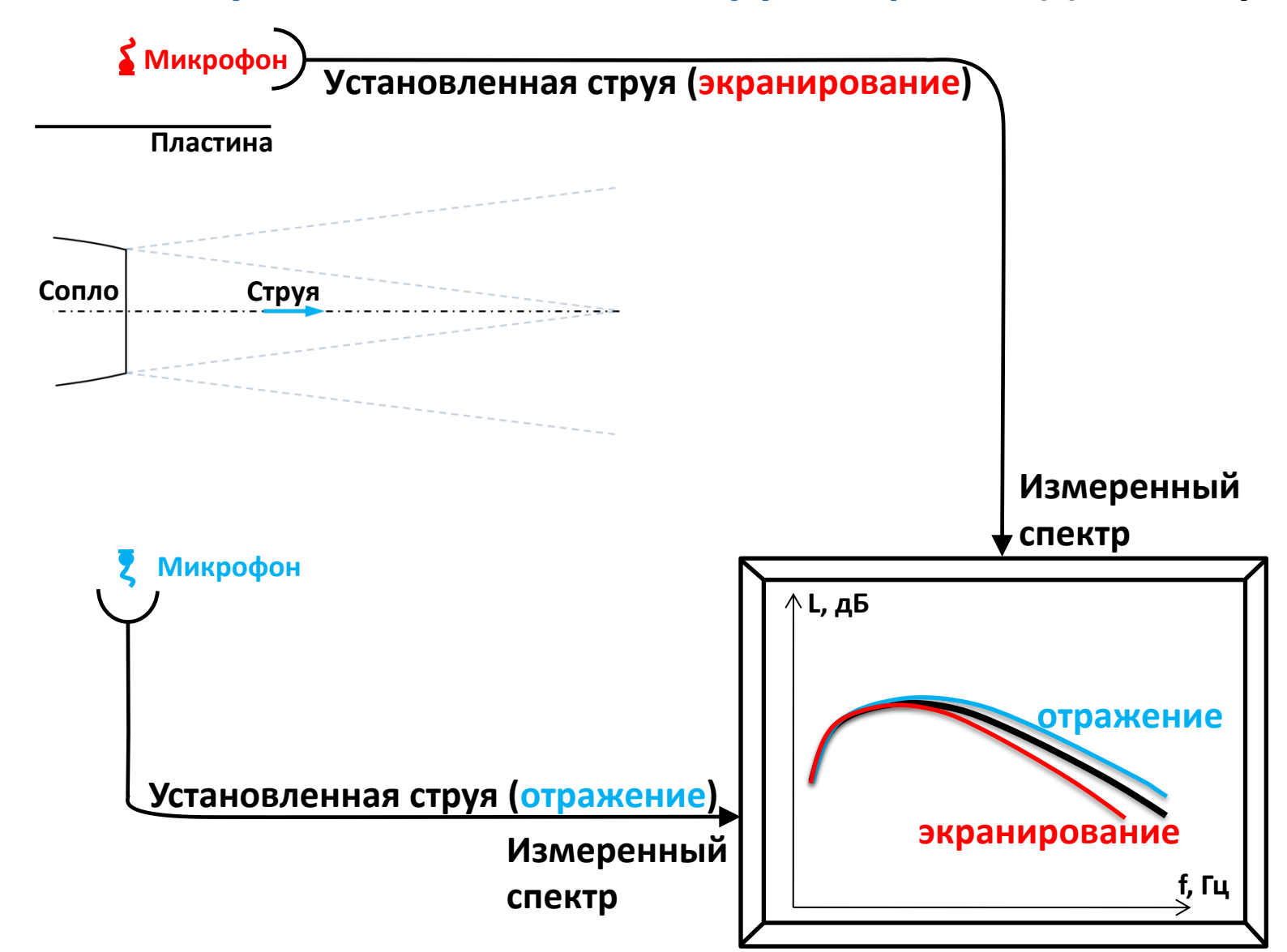




Сессия научного совета РАН по акустике, 18 сентября, 2025 г.



Что есть шум взаимодействия струи и крыла? Демонстрация.

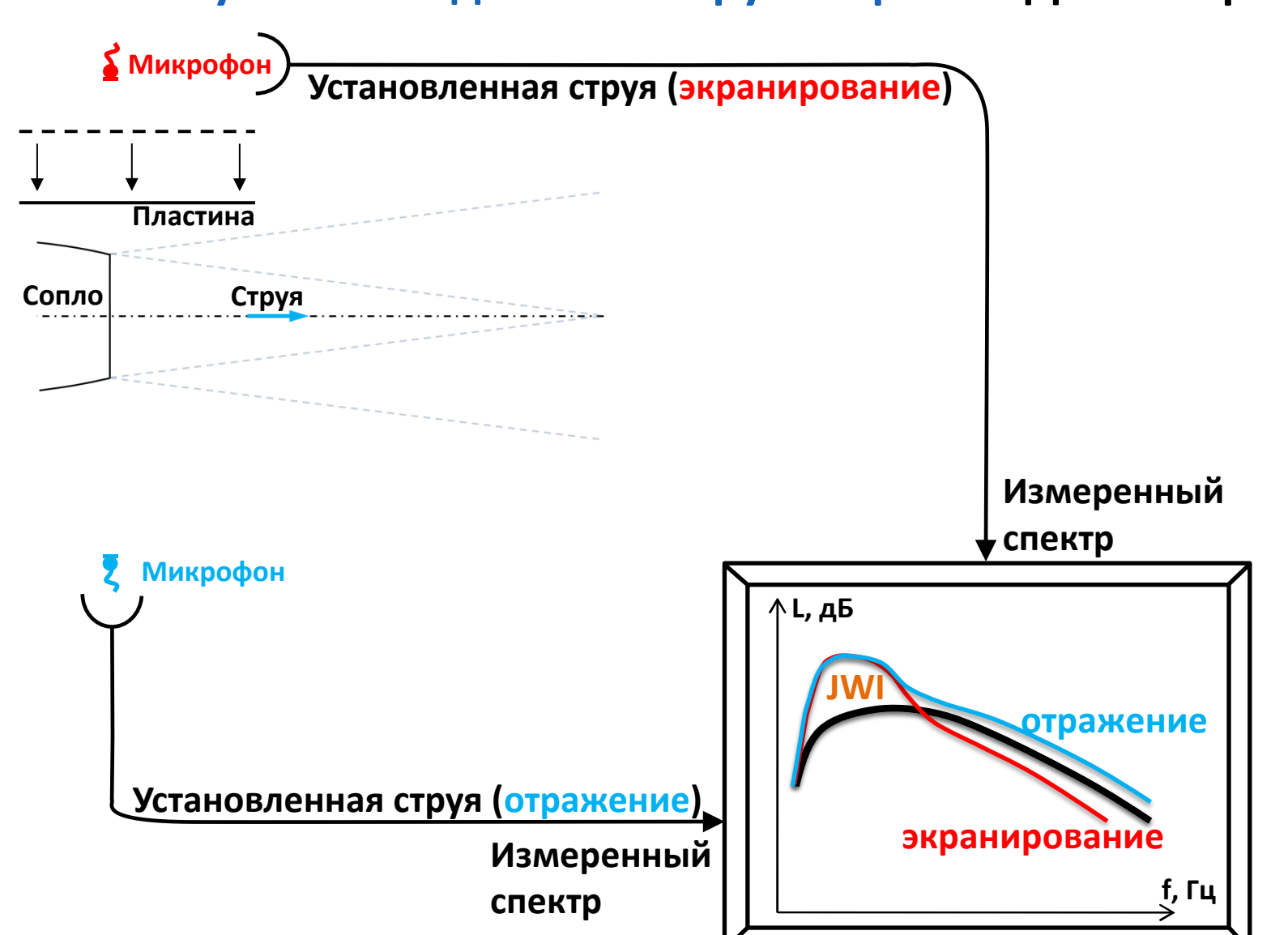




Сессия научного совета РАН по акустике, 18 сентября, 2025 г.



Что есть шум взаимодействия струи и крыла? Демонстрация.



Broadbent (1977)

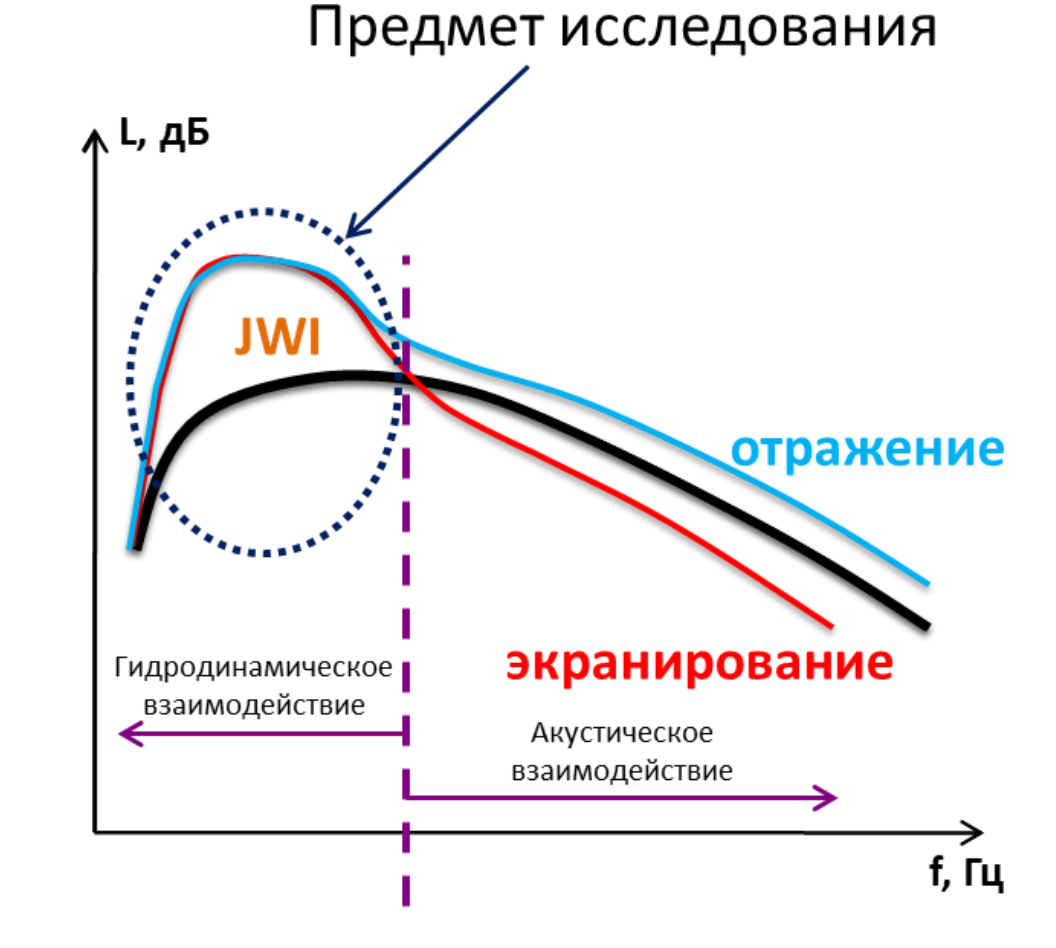


Сессия научного совета РАН по акустике, 18 сентября, 2025 г.



Что есть шум взаимодействия струи и крыла? Демонстрация.







Сессия научного совета РАН по акустике, 18 сентября, 2025 г.



План доклада

- Введение
- Теоретическое описание
- Экспериментальное исследование (валидация)
- Возможности управления
- Заключение

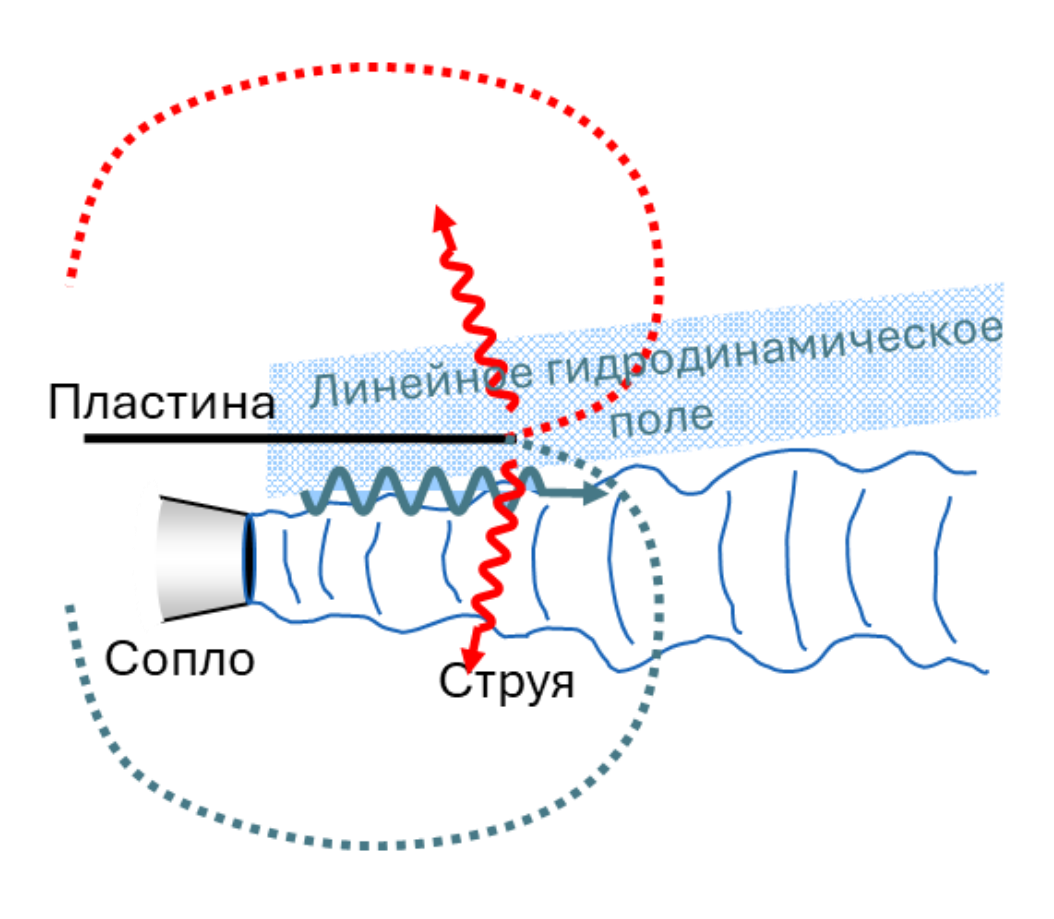


Сессия научного совета РАН по акустике, 18 сентября, 2025 г.



Что есть шум взаимодействия струи и крыла? Моделирование.





Self et al. (2011)

Kopiev et al. (2013)

Faranosov&Bychkov (2014, 2016)

Jordan et al. (2012, 2014, 2016)

Lyu et al. (2016-2018)

Faranosov et al. (2016-2018)

Рассеяние на задней кромке крыла неизлучающих волн неустойчивости может приводить к усилению шума в дальнем поле при приближении кромки крыла к области доминирования волны неустойчивости.

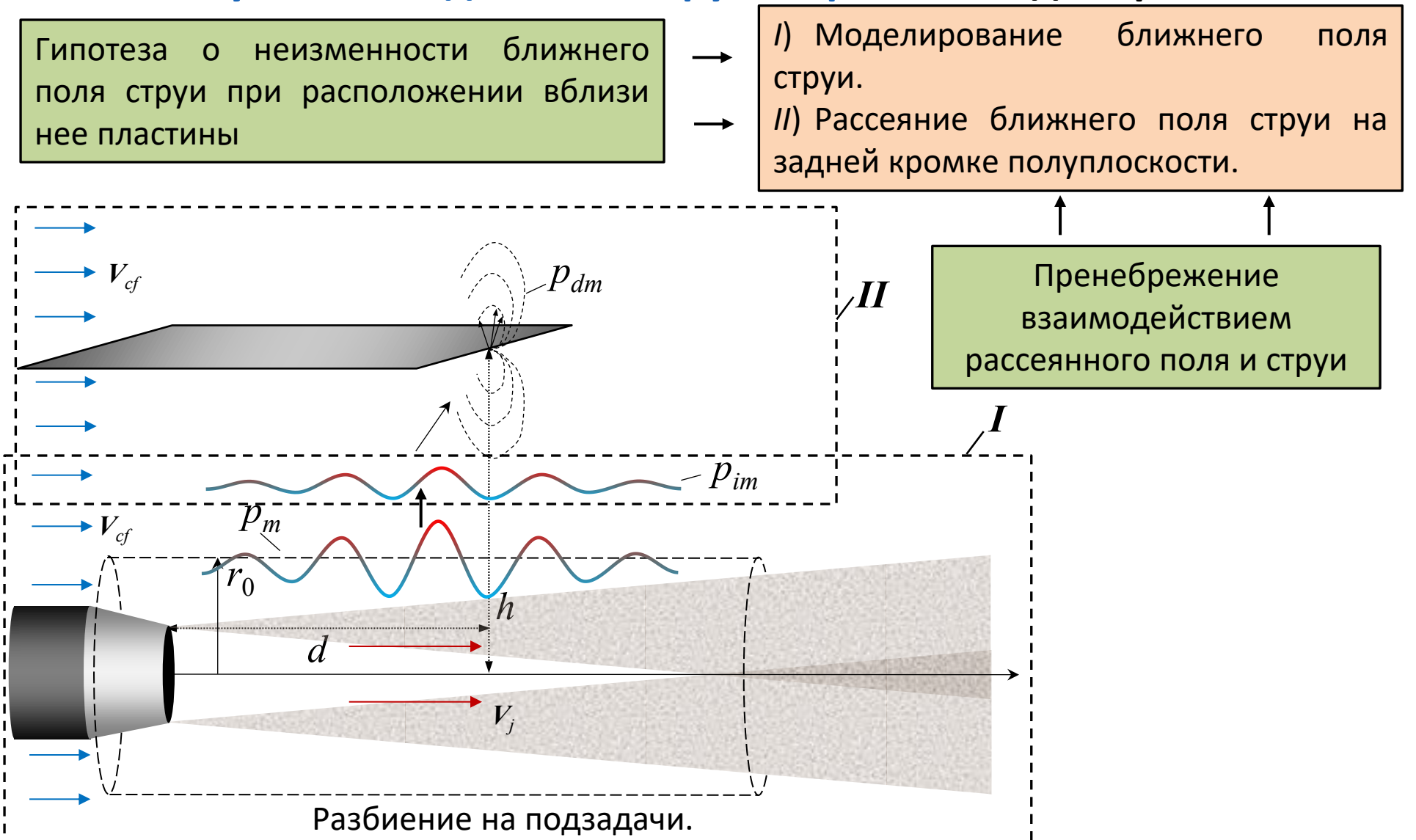




Сессия научного совета РАН по акустике, 18 сентября, 2025 г.



Что есть шум взаимодействия струи и крыла? Моделирование.

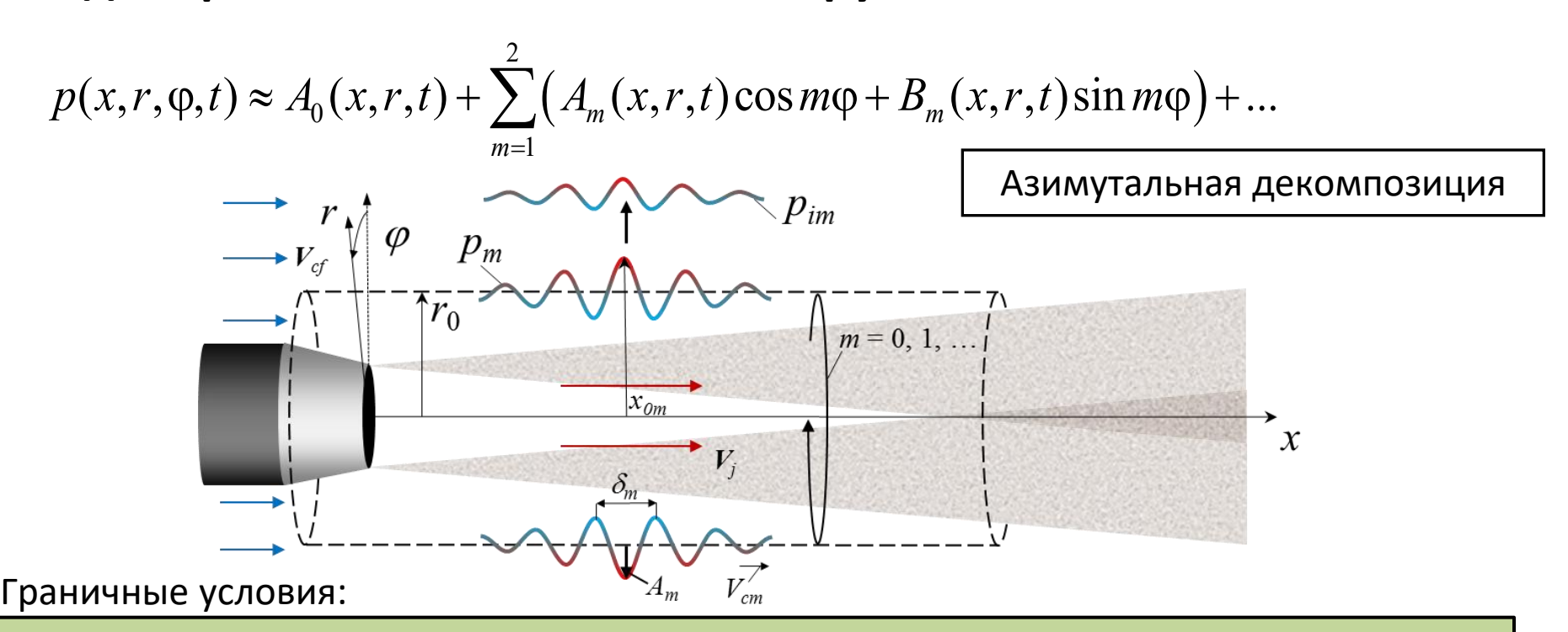




Сессия научного совета РАН по акустике, 18 сентября, 2025 г.



Моделирование ближнего поля струи.



Известные возмущения на цилиндрической поверхности $r = r_0$ моделируемые в виде волновых пакетов различных азимутальных чисел m:

$$p_{m}(x,r_{0},\varphi) = A_{m}e^{-\frac{(x-x_{0m})^{2}}{\delta_{m}^{2}} + i\omega\frac{x-x_{0m}}{V_{cm}}}e^{im\varphi}$$

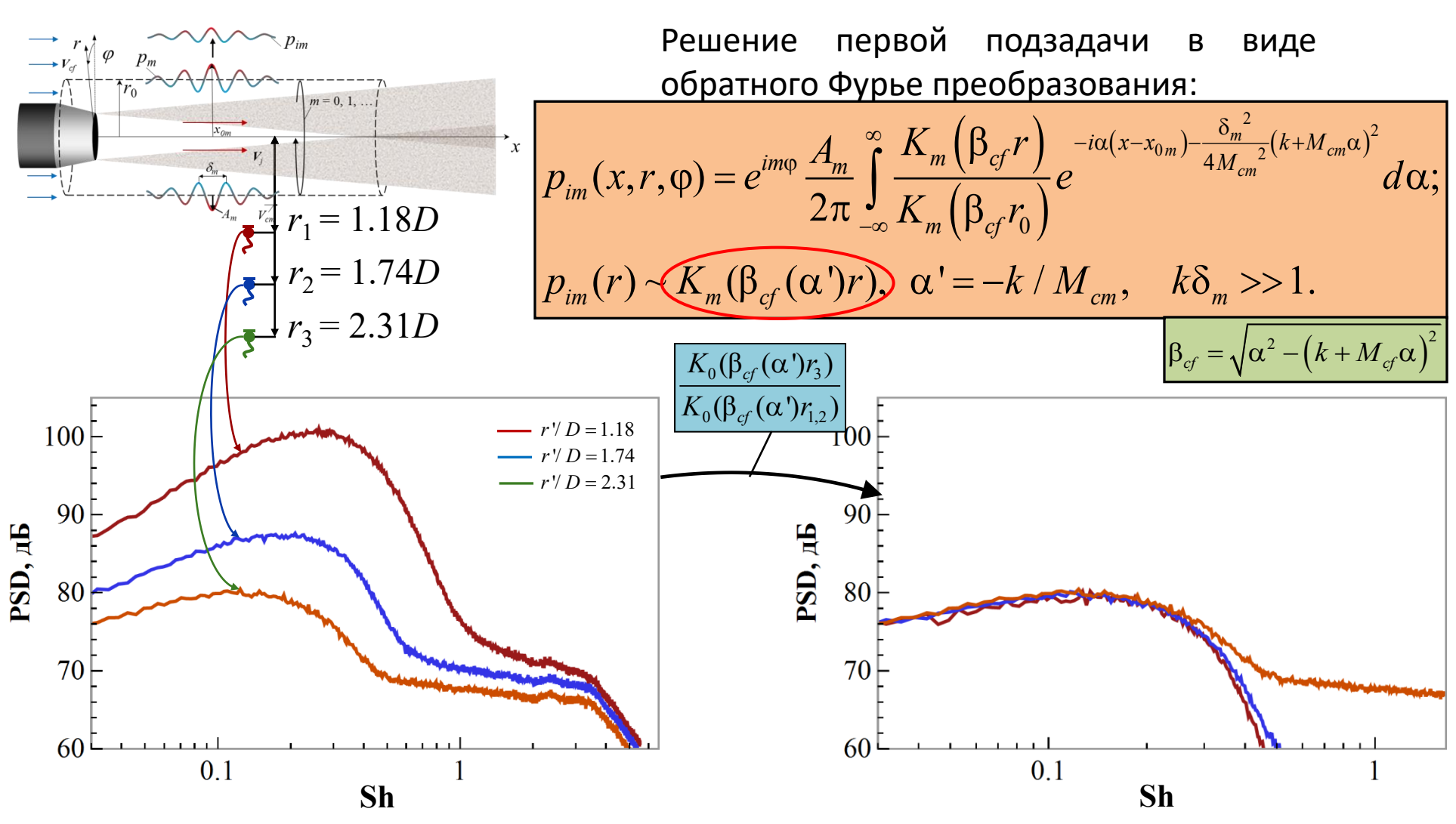
Полученное решение должно удовлетворять условию излучения при $y \to \pm \infty$.



Сессия научного совета РАН по акустике, 18 сентября, 2025 г.



Моделирование ближнего поля струи.



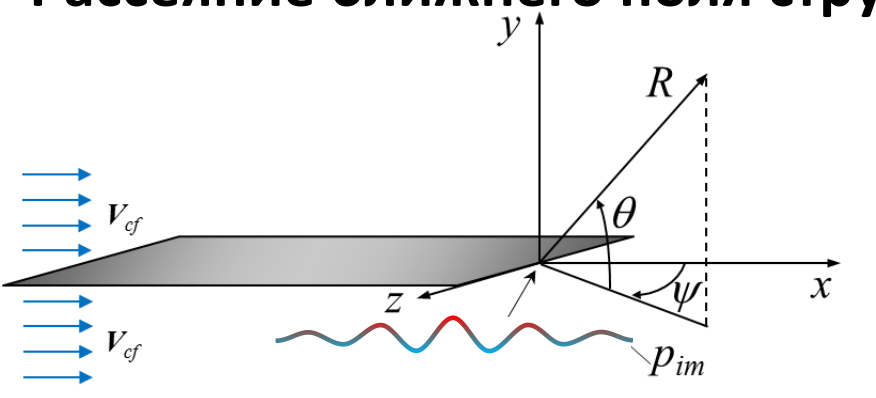
 K_m — модифицированная функция Бесселя второго рода, порядка m.



Сессия научного совета РАН по акустике, 18 сентября, 2025 г.

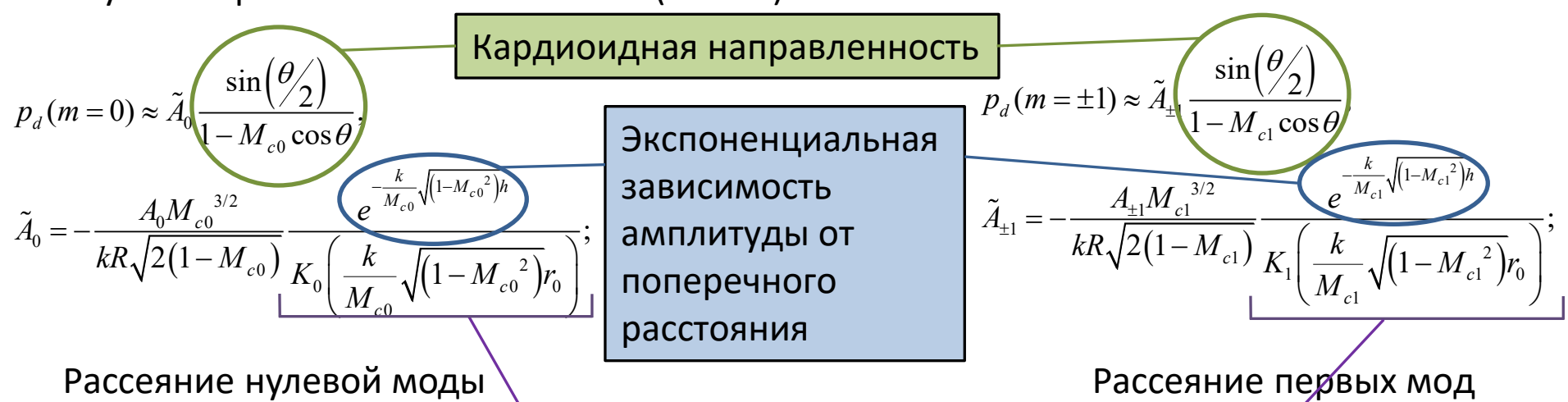


Рассеяние ближнего поля струи на задней кромке пластины.



- 1) Решение скалярного уравнения Винера-Хопфа.
- 2) Аппроксимация в дальнем поле двумерным методом перевала.

Полярная направленность (ψ =0°) в дальнем поле (kR>>1) в условиях статики (M_{cf} =0) для случая широких волновых пакетов ($k\delta>>1$):



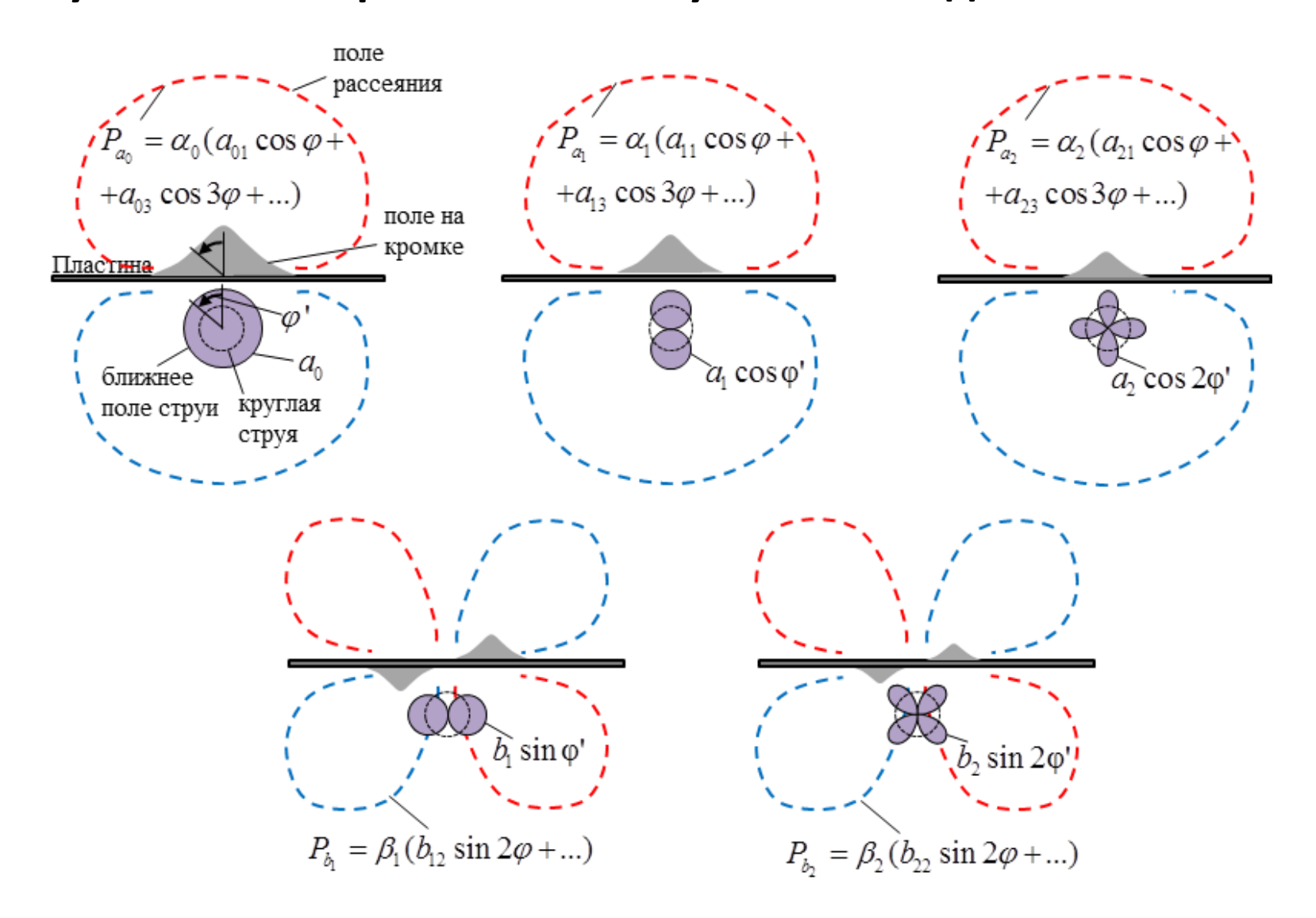
Вклад рассеяния старших азимутальных мод ближнего поля струи в дальнее поле становится меньше



Сессия научного совета РАН по акустике, 18 сентября, 2025 г.



Азимутальная направленность шума взаимодействия.





Сессия научного совета РАН по акустике, 18 сентября, 2025 г.



План доклада

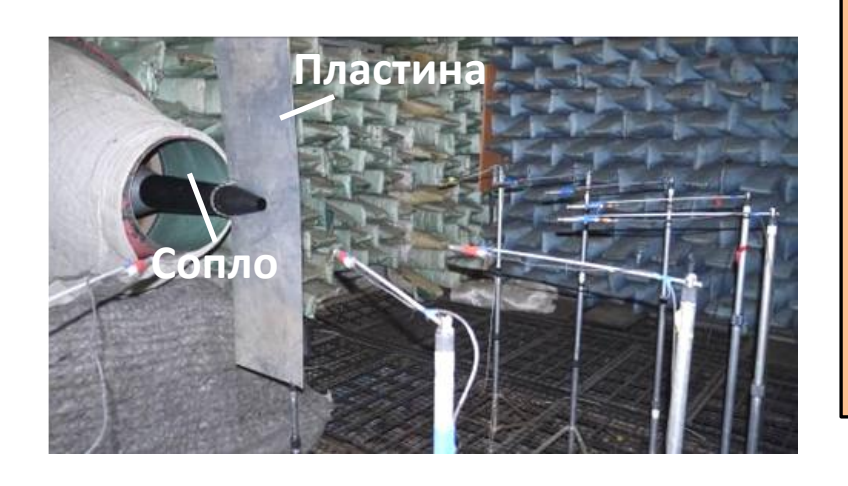
- Введение
- Теоретическое описание
- Экспериментальное исследование (валидация)
- Возможности управления
- Заключение





Поучение информации о шуме взаимодействия.





Одиночная круглая струя, D=40 mm

Крыло смоделировано плоской пластиной 1.2m x 0.35m x 0.003m

Параметры установки:

h = D, d = 3.2 D (кромка в области линейных гидродинамических пульсаций)

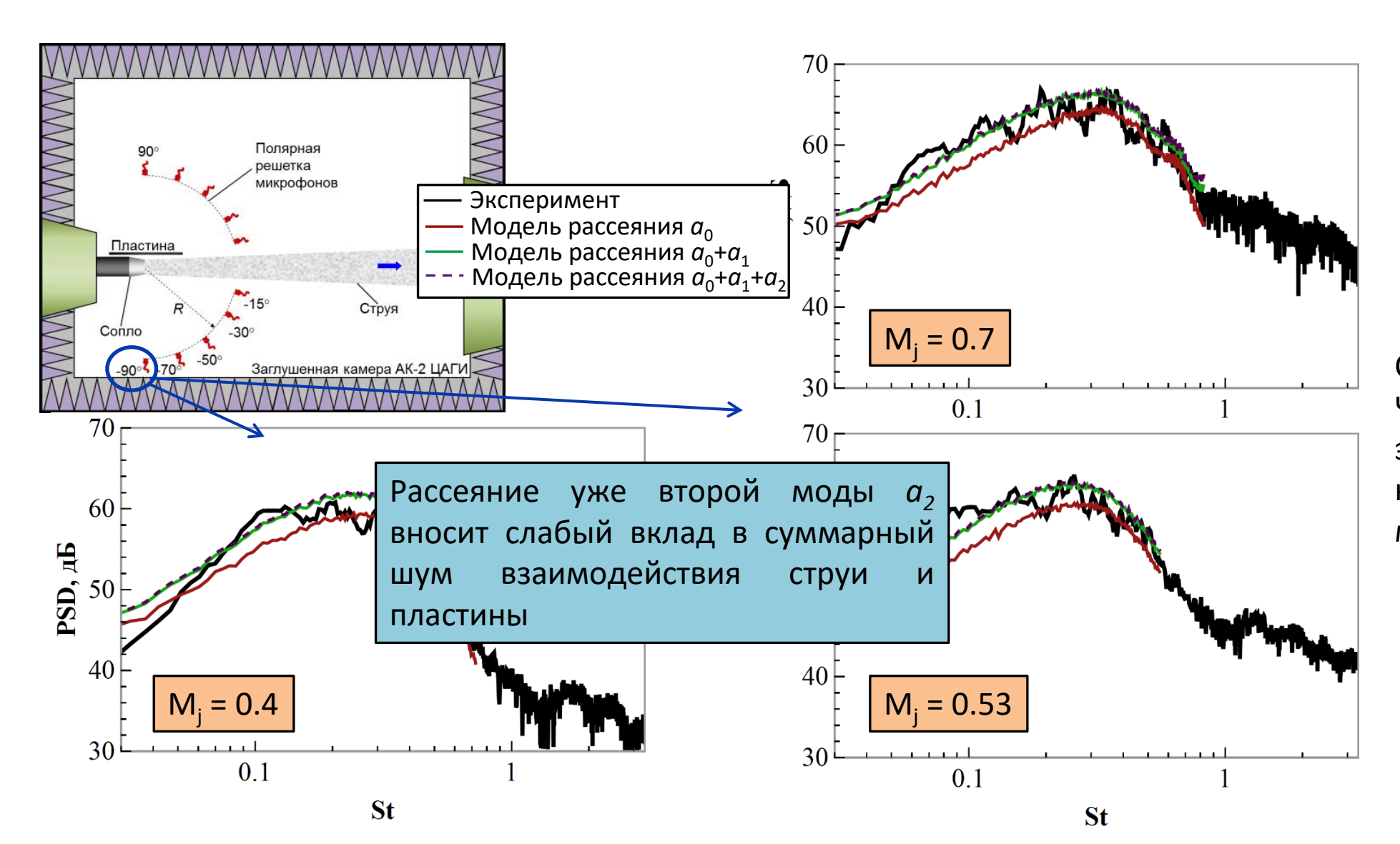
 $M_i = 0.4, 0.53, 0.6, 0.7, 0.82, 0.88$

Число Re $\approx 3.6 \cdot 10^5 - 8 \cdot 10^5$





Валидация модели шума взаимодействия.



Сравнение спектров. Черные кривые — эксперимент, цветные кривые — результаты моделирования.



Сессия научного совета РАН по акустике, 18 сентября, 2025 г.

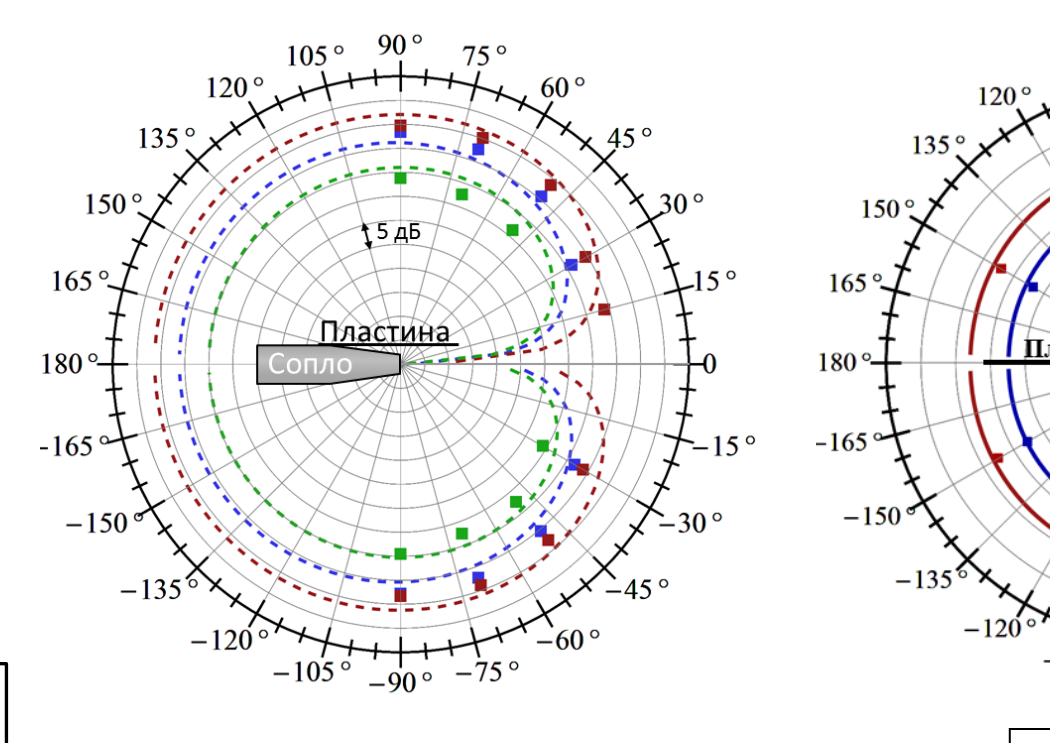


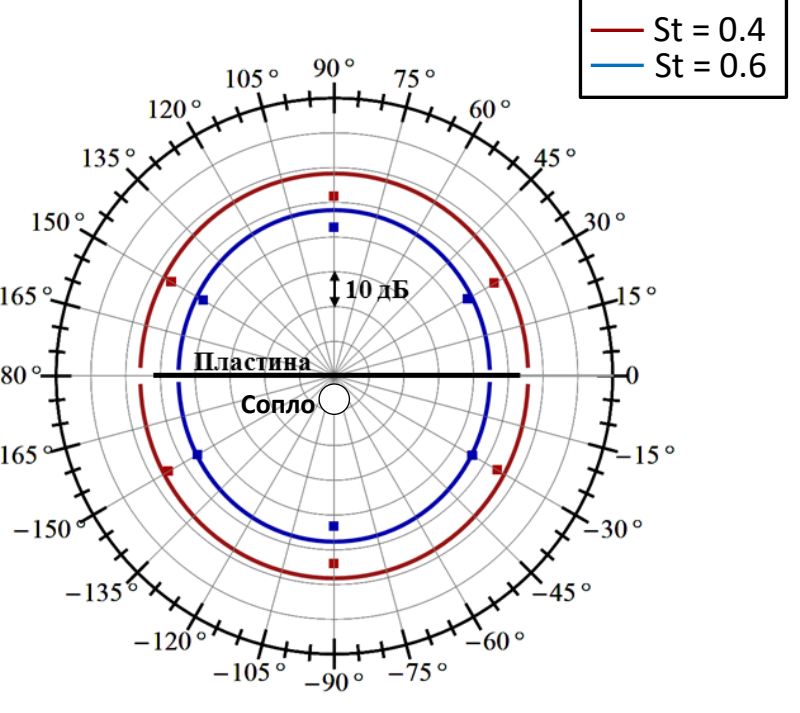
Валидация модели шума взаимодействия.

Диаграммы направленности шума взаимодействия струи и пластины.



St = 0.1 St = 0.3 St = 0.6





x/D = -12.7

Пунктир — результаты моделирования, символы — экспериментальные данные. Учитывается Рассеяние a_0 и a_1 мод.



Сессия научного совета РАН по акустике, 18 сентября, 2025 г.



Реалистичная конфигурация.

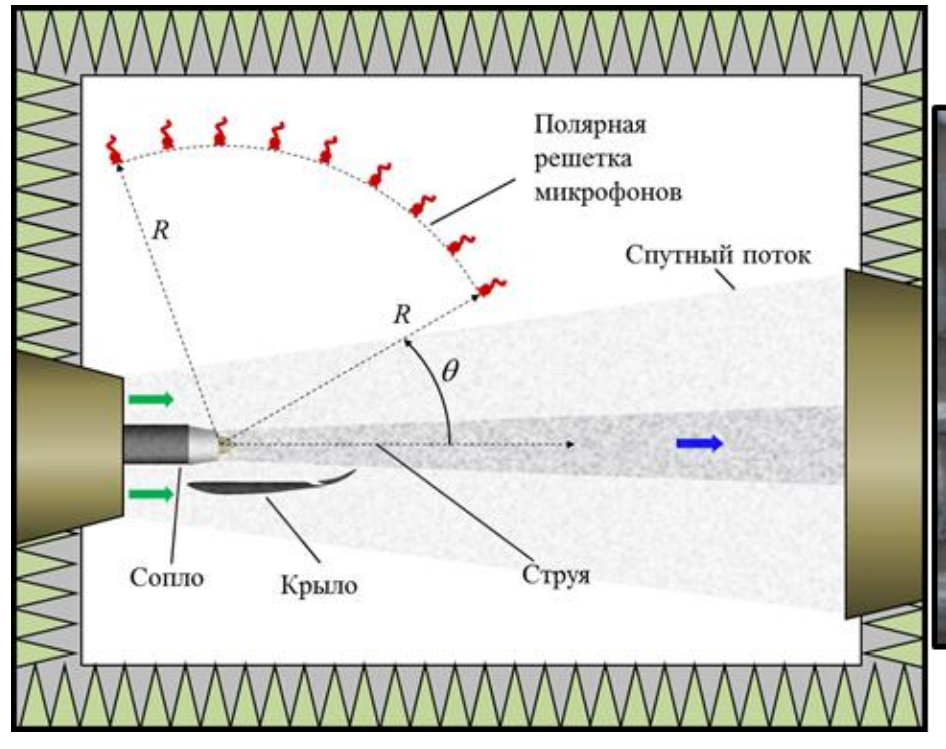




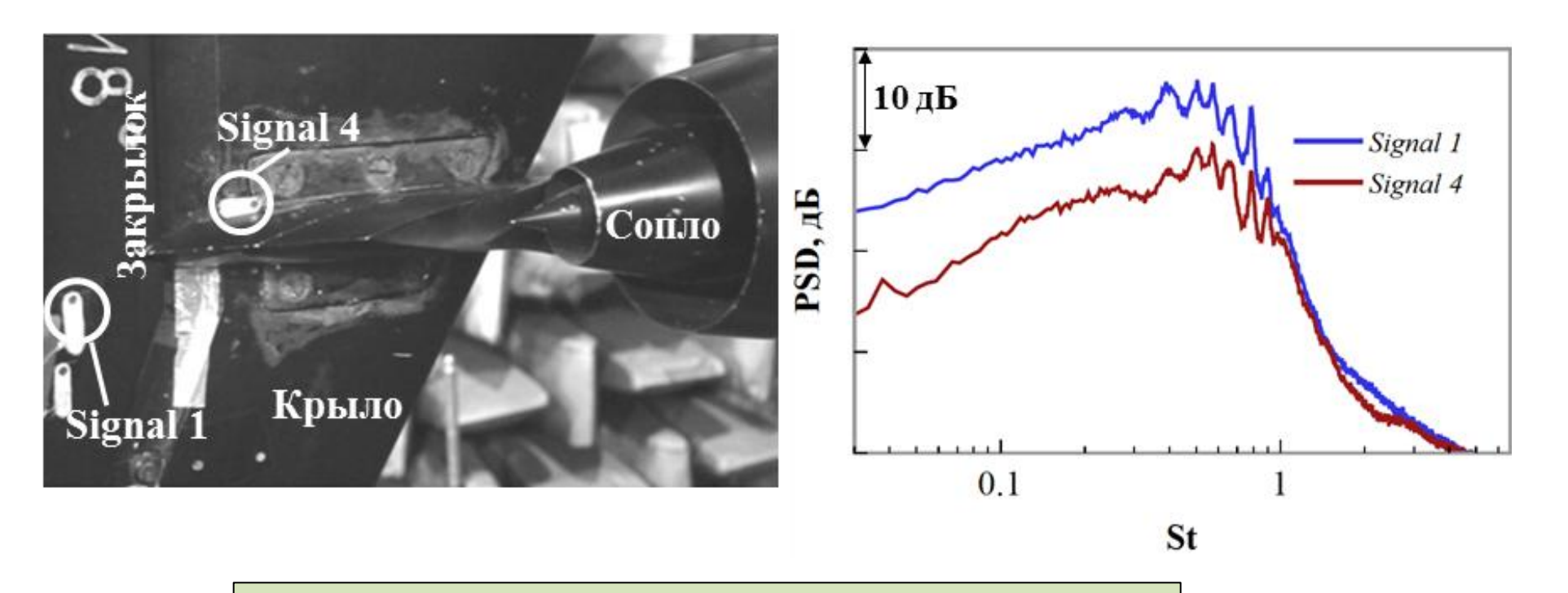
Схема эксперимента.



Сессия научного совета РАН по акустике, 18 сентября, 2025 г.



Получение входной информации.



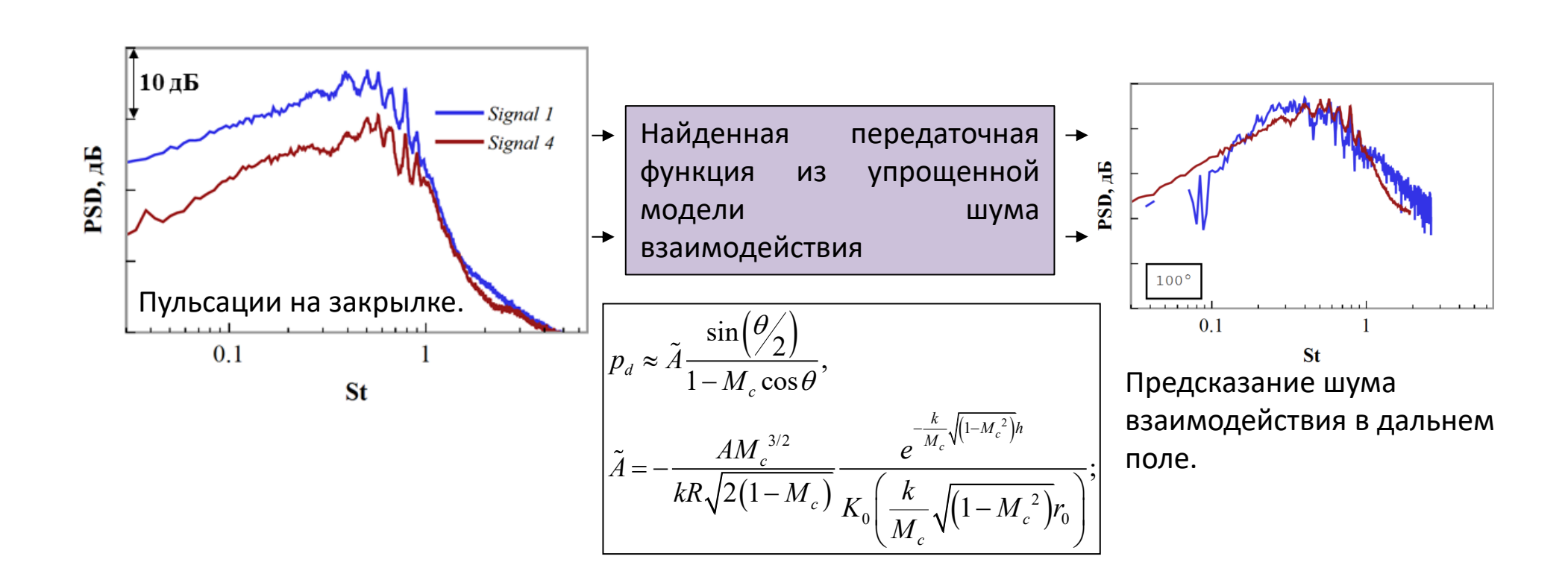
Упрощение разработанной модели шума взаимодействия позволило добиться получения предсказания о шуме взаимодействия при наличии лишь данных о пульсациях давления на нижней поверхности крыла в двух соседних точках.



Сессия научного совета РАН по акустике, 18 сентября, 2025 г.



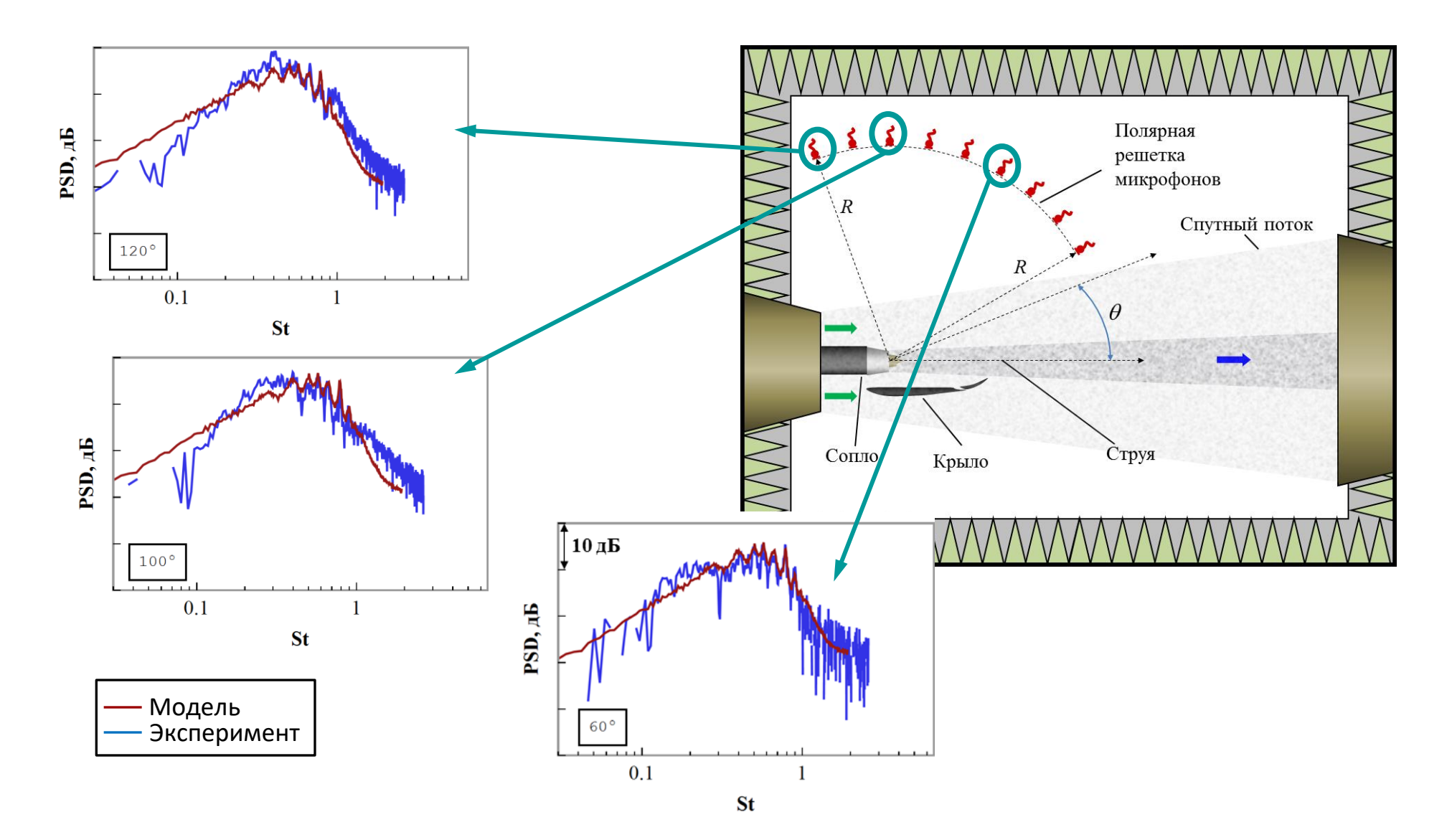
Использование модели.







Сравнение результатов модели и эксперимента.





Сессия научного совета РАН по акустике, 18 сентября, 2025 г.



План доклада

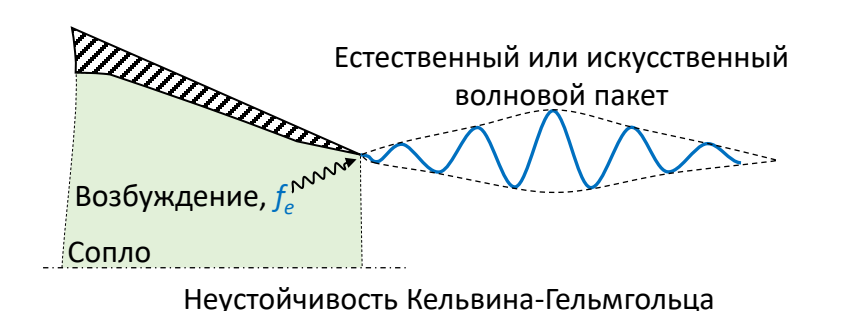
- Введение
- Теоретическое описание
- Экспериментальное исследование (валидация)
- Возможности управления
- Заключение

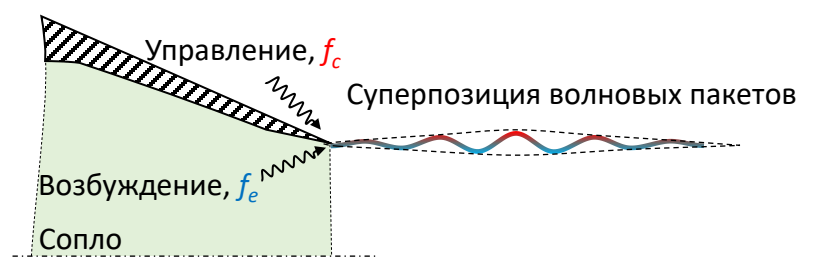


Сессия научного совета РАН по акустике, 18 сентября, 2025 г.

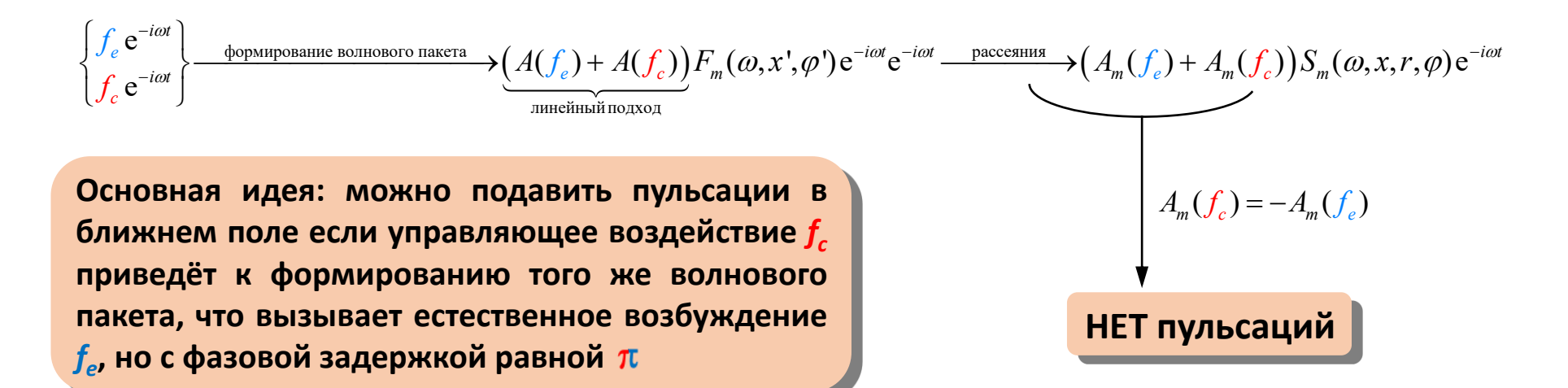


Стратегия управления





Неустойчивость Кельвина-Гельмгольца

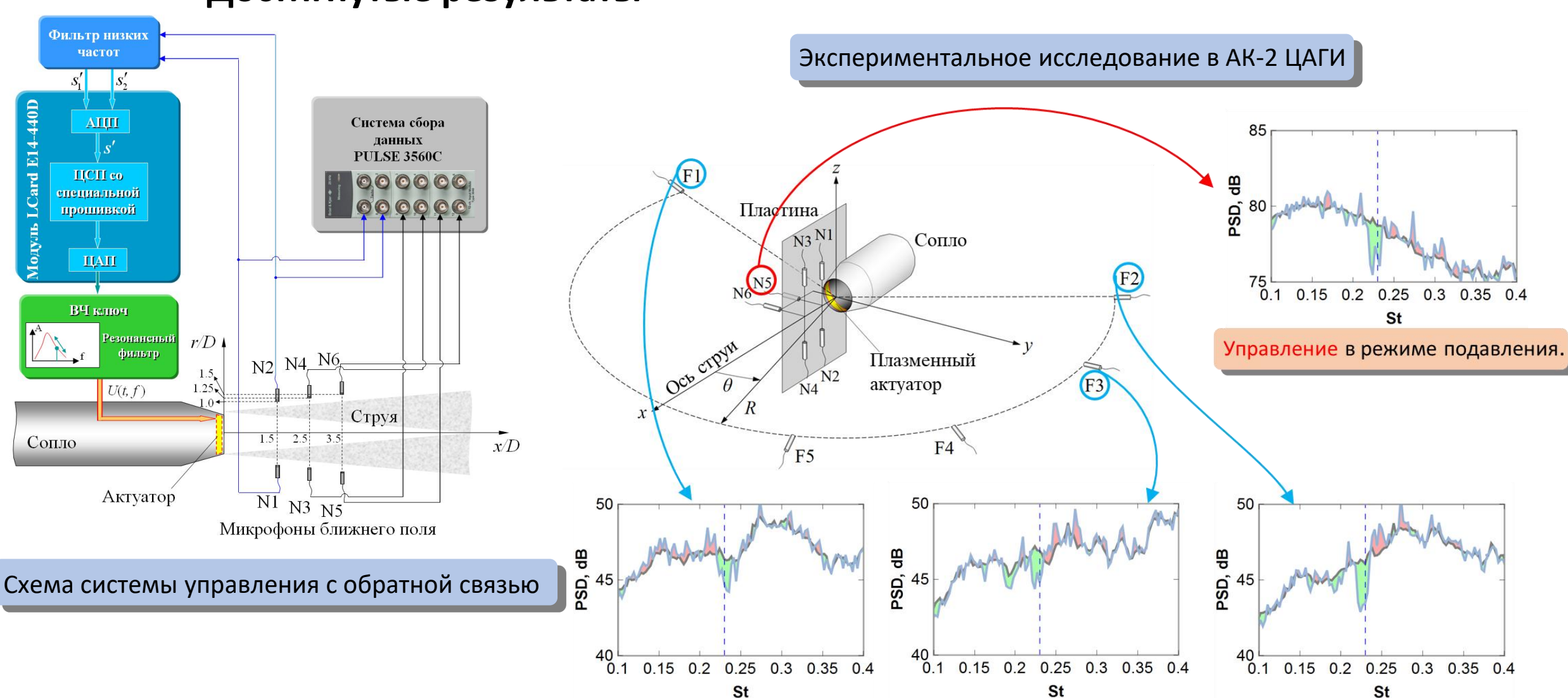




Сессия научного совета РАН по акустике, 18 сентября, 2025 г.



Достигнутые результаты

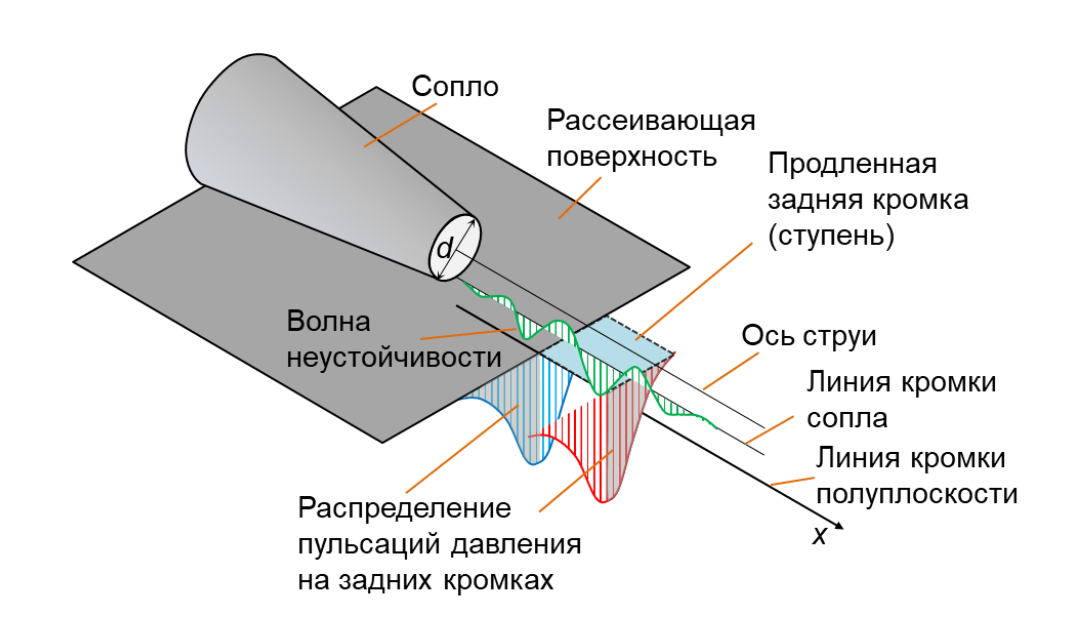


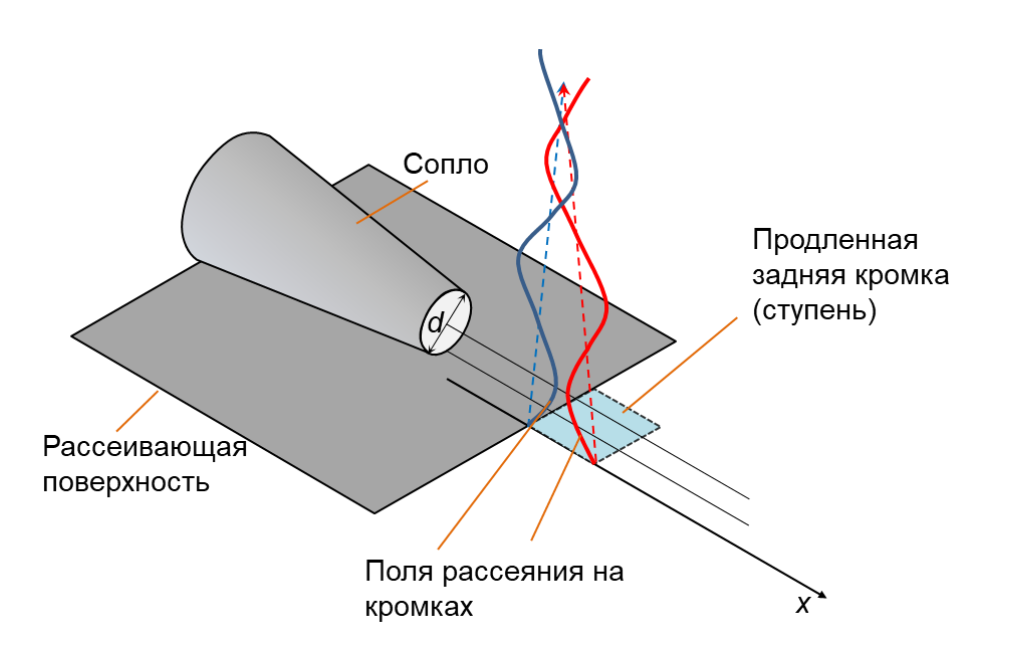




Снижение шума взаимодействия. Альтернативный подход.

Основная идея: управление не рассеивающимся полем, а полем рассеяния при помощи модификации задней кромки



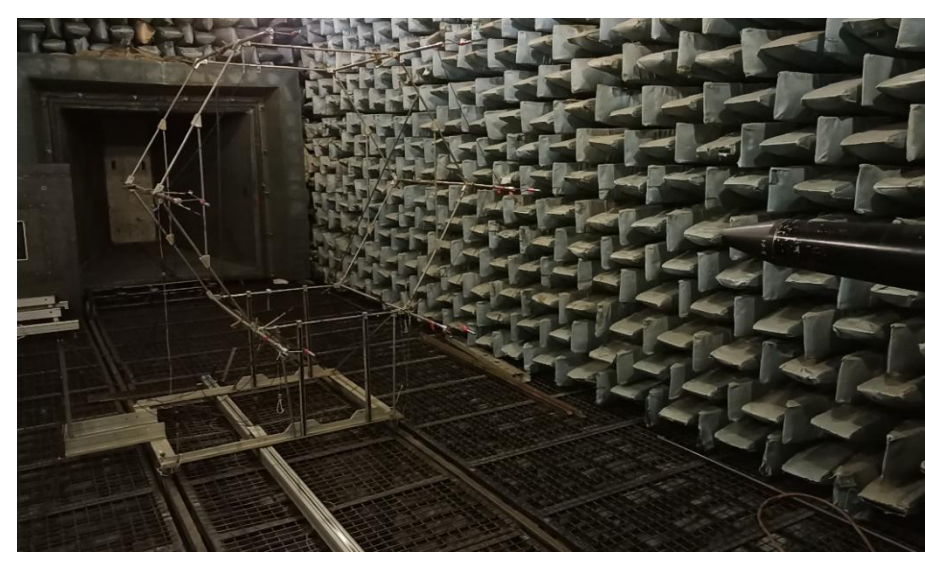




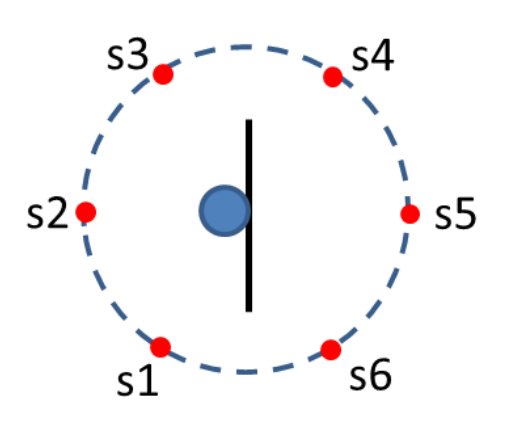
Сессия научного совета РАН по акустике, 18 сентября, 2025 г.



Снижение шума взаимодействия. Эксперимент в АК-2 ЦАГИ.



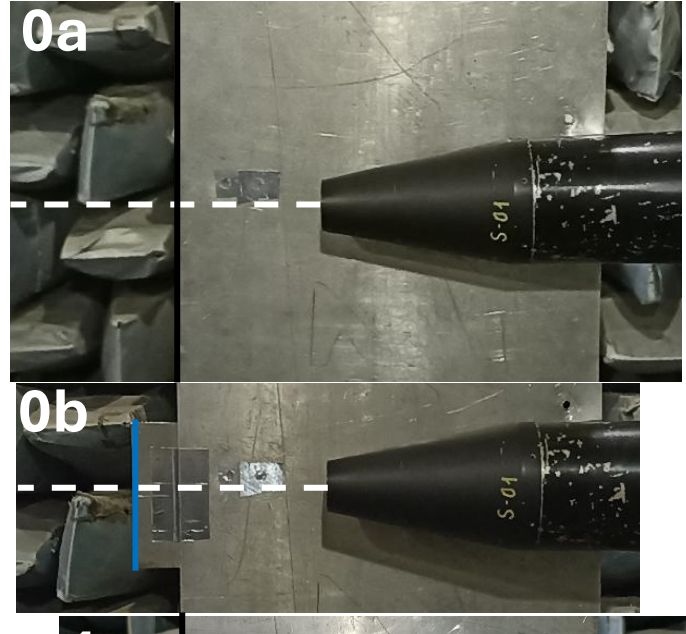
Подвижная АДТ решетка микрофонов, измеряет «цилиндрическую» направленность



Конфигурация микрофонов (6 х В&К 4189) в решетке (центровка на пластине)



Конфигурации:





Диаметр сопла (d): 0.04 м

Скорость истечения струи: 180 м/с

Радиус решетки: 0.8 м

Размеры пластины: 1.2 м*0.35 м*0.003

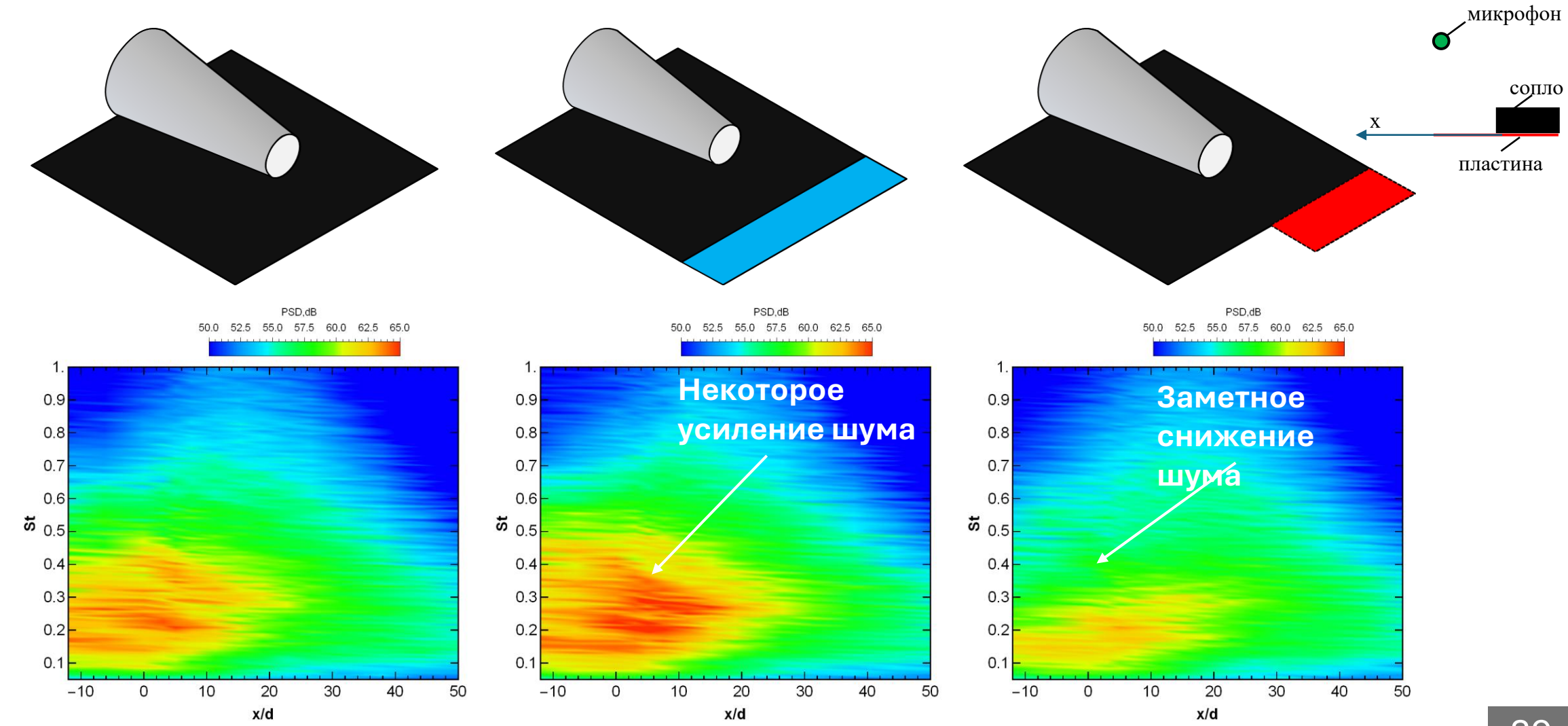
Расстояние до кромким l = 3d; h = d;

Высота ступени: 0.9d



ЦЕНТРАЛЬНЫЙ АЭРОГИДРОДИНАМИЧЕСКИЙ ИНСТИТУТ имени профессора Н. Е. Жуковского

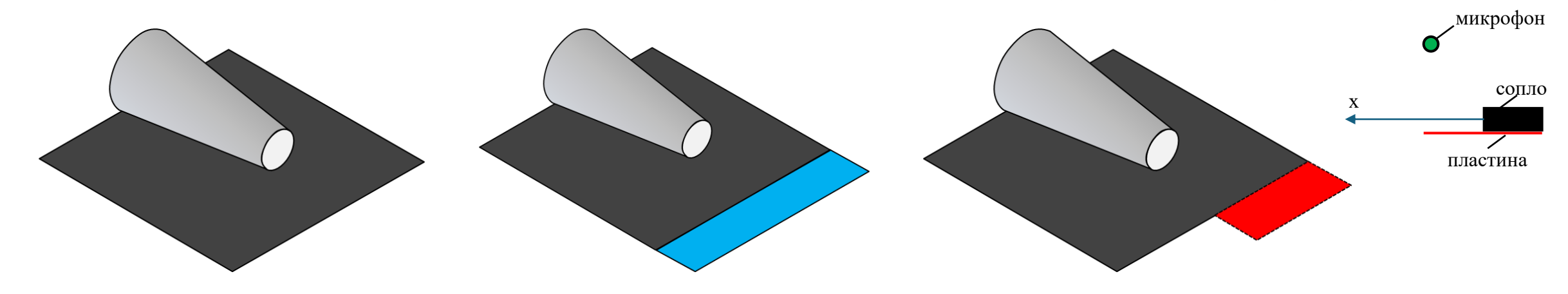
Спектральные карты полного поля под микрофоном для разных конфигураций.



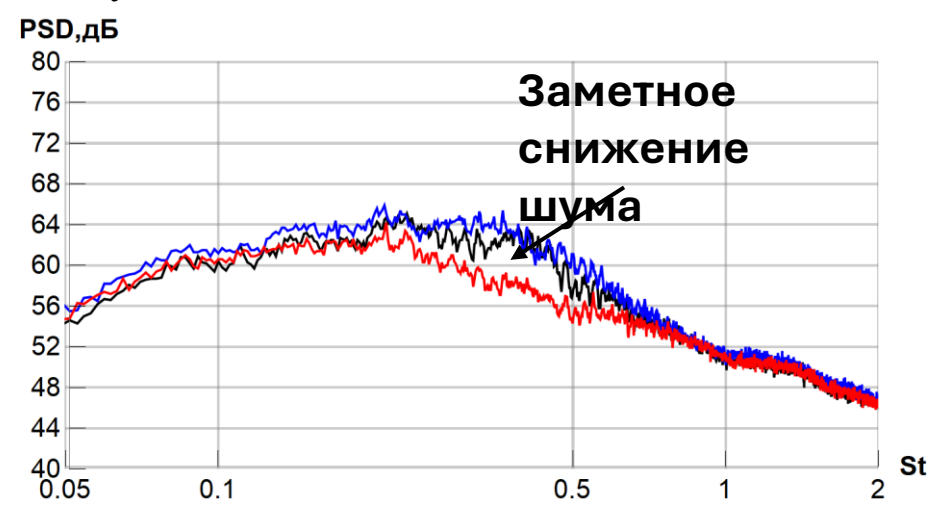




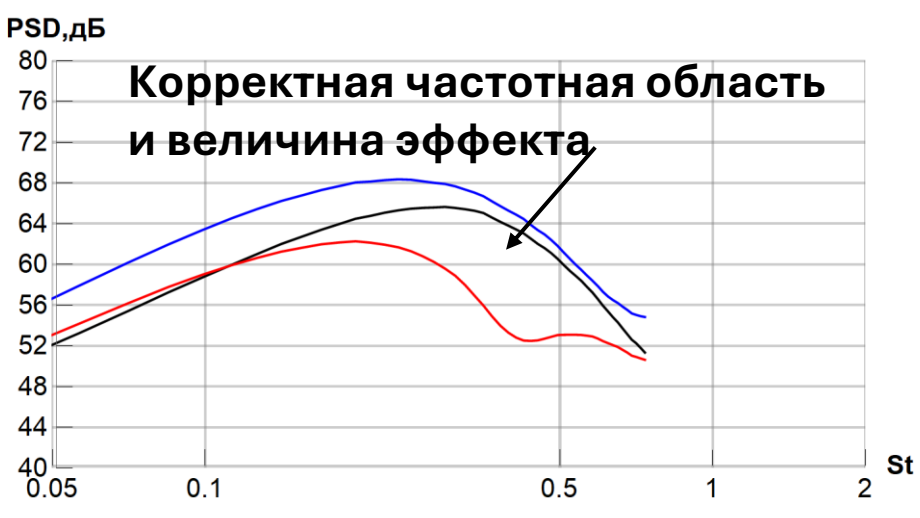
Спектральные карты полного поля под микрофоном для разных конфигураций.



Экспериментальное измерение спектров пульсаций давления под пластиной.



Моделирование спектров пульсаций давления под пластиной.





Сессия научного совета РАН по акустике, 18 сентября, 2025 г.



План доклада

- Введение
- Теоретическое описание
- Экспериментальное исследование (валидация)
- Возможности управления
- Заключение





Основные выводы.

- Рассеяние на кромке крыла гидродинамического поля от волны неустойчивости Кельвина-Гельмгольца приводит к излучению звуковых волн, амплитуда которых пропорциональна амплитуде рассеянного на кромке поля. Направленность такого источника шума может быть описана симметричной относительно плоскости крыла кардиоидой с конвективным растяжением.
- Рассеяние косинус-мод ближнего гидродинамического поля струи на задней кромке приводит к появлению суперпозиции нечетных косинус-мод акустического поля в дальней зоне, в то же время рассеяние синус-мод приводит к появлению суперпозиции четных синус-мод акустического поля в дальней зоне.
- Экспериментальное выделение характеристик шума взаимодействия может быть уточнено при применении метода азимутальной декомпозиции. Данные характеристики в первом приближении могут быть оценены при наличии данных о пульсациях давления лишь в двух точках около рассеивающей кромки крыла.
- Сравнение результатов теоретического моделирования и эксперимента показывает, что разработанная модель шума взаимодействия струи и крыла с достаточно хорошей точностью в 2-3 дБ (в области максимума эффекта) количественно позволяет предсказывать основные характеристики эффекта усиления шума даже в случае реалистичной конфигурации «струя-крыло».
- Предложены различные способы подавления шуам взаимодействия струи и крыла самолета, которые были успешно проверены в эксперименте.